

## Méthodes énergétiques (Rappel de cours)

### Théorème de Menabrea (Théorème du potentiel minimal)

On peut appliquer le théorème de Castigliano aux **systèmes hyperstatiques** en procédant de la façon suivante :

- (i) On supprime les liaisons surabondantes (réactions et/ou moments de liaison) du système hyperstatique pour le "rendre" isostatique.
- (ii) On applique à ce système isostatique, **en plus des chargements extérieurs** les réactions et/ou moments surabondants comme des forces et des couples extérieurs.

⇒ **choix des inconnues hyperstatiques**  $X_R$

- (iii) Par l'application du **théorème de Castigliano** à l'action de contact d'un appui sans frottement (ou encastrement), on calcule les déplacements et/ou les rotations du système rendu isostatique.



**Théorème de Menabrea :**

Les valeurs des **réactions hyperstatiques** correspondant à l'équilibre du système rendent **minimale** (stationnaire) l'énergie de déformation  $U$  :

$$\frac{\partial U}{\partial X_R} = 0 \quad \text{avec } X_R \text{ les inconnues hyperstatiques}$$

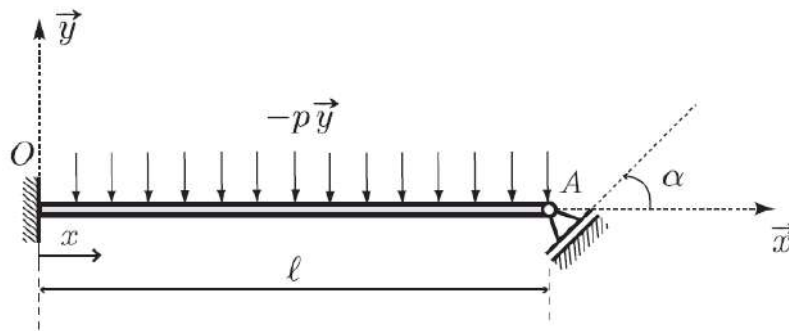
## Méthodes énergétiques (Rappel de cours)

### Théorème de Menabrea (Théorème du potentiel minimal)

On peut appliquer le théorème de Castigliano aux **systèmes hyperstatiques** en procédant de la façon suivante :

- (i) On supprime les liaisons surabondantes (réactions et/ou moments de liaison) du système hyperstatique pour le "rendre" isostatique.

#### Exo 4 : Étude d'une poutre hyperstatique



Choix de la base de Frenet :

$$\begin{aligned} ds &= dx & \underline{t} &= \underline{e}_x \\ \underline{n} &= \underline{e}_y & \underline{b} &= \underline{e}_z \end{aligned}$$

Structure étudiée au TD4.

Degré d'hyperstaticité = 1, inconnue  $R_A$

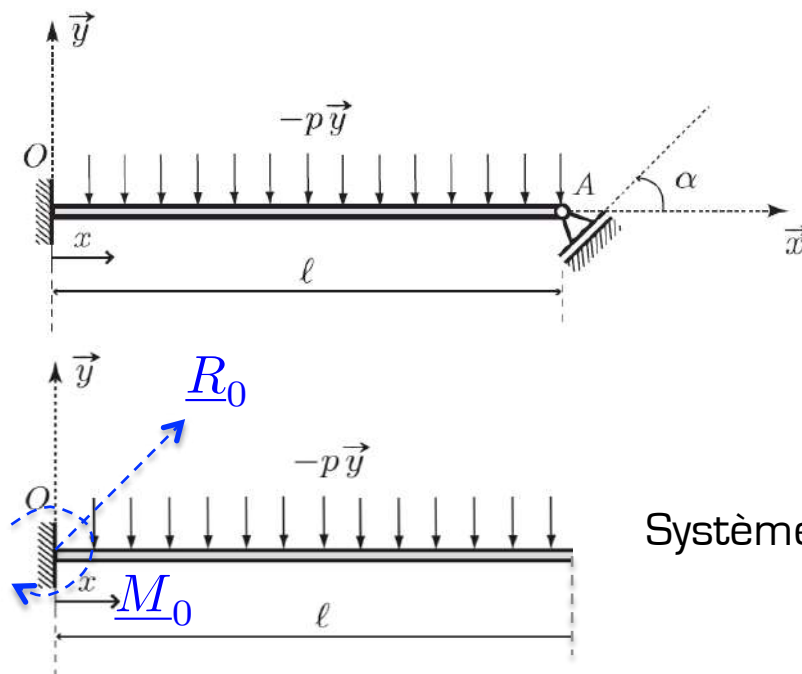
## Méthodes énergétiques (Rappel de cours)

### Théorème de Menabrea (Théorème du potentiel minimal)

On peut appliquer le théorème de Castigliano aux **systèmes hyperstatiques** en procédant de la façon suivante :

- (i) On supprime les liaisons surabondantes (réactions et/ou moments de liaison) du système hyperstatique pour le "rendre" isostatique.

#### Exo 4 : Étude d'une poutre hyperstatique



Choix de la base de Frenet :

$$\begin{aligned} ds &= dx & \underline{t} &= \underline{e}_x \\ \underline{n} &= \underline{e}_y & \underline{b} &= \underline{e}_z \end{aligned}$$

Structure étudiée au TD4.

Degré d'hyperstaticité = 1, inconnue  $R_A$

Système isostatique associé, extrémité libre en  $x = \ell$

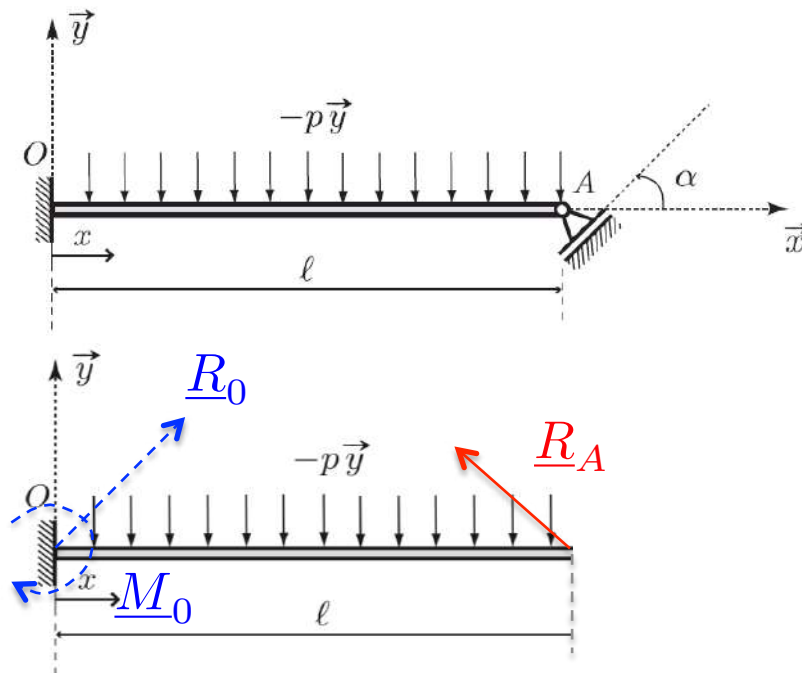
## Méthodes énergétiques (Rappel de cours)

### Théorème de Menabrea (Théorème du potentiel minimal)

On peut appliquer le théorème de Castigliano aux **systèmes hyperstatiques** en procédant de la façon suivante :

- (i) On supprime les liaisons surabondantes (réactions et/ou moments de liaison) du système hyperstatique pour le "rendre" isostatique.
- (ii) On applique à ce système isostatique, **en plus des chargements extérieurs** les réactions et/ou moments surabondants comme des forces et des couples extérieurs.

⇒ **choix des inconnues hyperstatiques  $X_R$**



Structure étudiée au TD4.

Degré d'hyperstaticité = 1, inconnue  $\underline{R}_A$



## Méthodes énergétiques (Rappel de cours)

### Théorème de Menabrea (Théorème du potentiel minimal)

On peut appliquer le théorème de Castigliano aux **systèmes hyperstatiques** en procédant de la façon suivante :

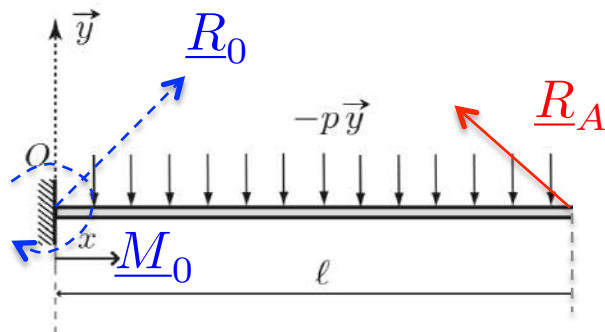
- (i) On supprime les liaisons surabondantes (réactions et/ou moments de liaison) du système hyperstatique pour le "rendre" isostatique.
- (ii) On applique à ce système isostatique, **en plus des chargements extérieurs** les réactions et/ou moments surabondants comme des forces et des couples extérieurs.

⇒ **choix des inconnues hyperstatiques**  $X_R$

- (iii) Par l'application du **théorème de Castigliano** à l'action de contact d'un appui sans frottement (ou encastrement), on calcule les déplacements et/ou les rotations du système rendu isostatique.

$$\delta_i = \frac{\partial U}{\partial F_i}$$

Physiquement le déplacement normal au plan incliné  $\delta_A$  est nul pour le système hyperstatique.



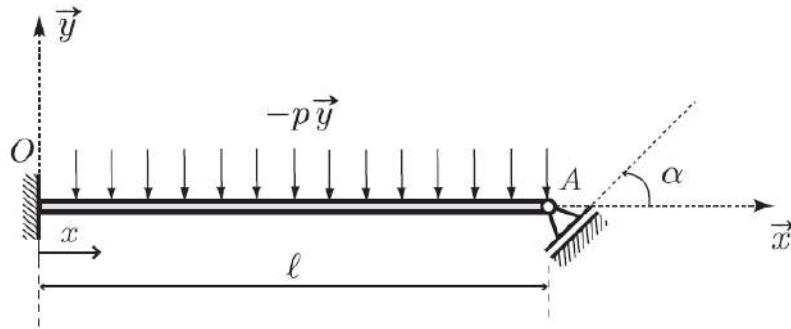
On cherche donc  $R_A$  telle que :

$$\delta_A = \frac{\partial U}{\partial R_A} = 0$$

Soit qui minimise l'énergie de déformation (**Menabrea**)

# Méthodes énergétiques

Rappels :

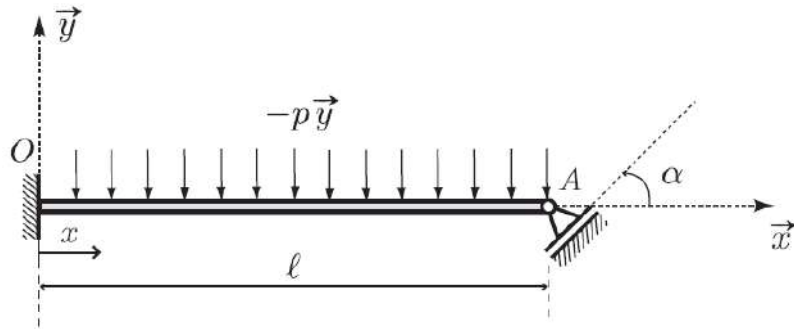


Équilibre **global** donne les **efforts de liaison** en fonction de l'inconnue hyperstatique.

$$\begin{cases} \underline{R}_O = R_A \sin \alpha \underline{e}_x + (p\ell - R_A \cos \alpha) \underline{e}_y \\ \underline{M}_O = \left( \frac{p\ell^2}{2} - \ell R_A \cos \alpha \right) \underline{e}_z \\ \underline{R}_A = R_A (-\sin \alpha \underline{e}_x + \cos \alpha \underline{e}_y) \end{cases}$$

# Méthodes énergétiques

Rappels :



Équilibre **global** donne les **efforts de liaison** en fonction de l'inconnue hyperstatique.

$$\begin{cases} \underline{R}_O = R_A \sin \alpha \underline{e}_x + (p\ell - R_A \cos \alpha) \underline{e}_y \\ \underline{M}_O = \left( \frac{p\ell^2}{2} - \ell R_A \cos \alpha \right) \underline{e}_z \\ \underline{R}_A = R_A (-\sin \alpha \underline{e}_x + \cos \alpha \underline{e}_y) \end{cases}$$

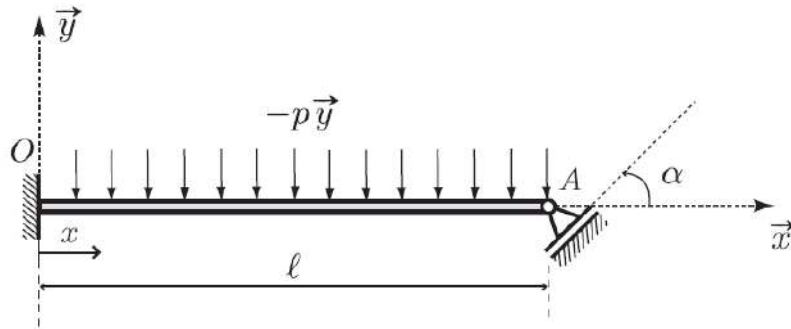
Équilibre **local** donne les **efforts de cohésion** en fonction de l'inconnue hyperstatique.

$$\underline{\mathcal{R}}(x) \rightarrow \begin{cases} N(x) = -R_A \sin \alpha \\ T_y(x) = [p(x - \ell) + R_A \cos \alpha] \underline{e}_y \\ T_z(x) = 0 \end{cases}$$

Efforts normal et tranchant  
non nuls

# Méthodes énergétiques

Rappels :



Équilibre **global** donne les **efforts de liaison** en fonction de l'inconnue hyperstatique.

$$\begin{cases} \underline{R}_O = R_A \sin \alpha \underline{e}_x + (p\ell - R_A \cos \alpha) \underline{e}_y \\ \underline{M}_O = \left( \frac{p\ell^2}{2} - \ell R_A \cos \alpha \right) \underline{e}_z \\ \underline{R}_A = R_A (-\sin \alpha \underline{e}_x + \cos \alpha \underline{e}_y) \end{cases}$$

Équilibre **local** donne les **efforts de cohésion** en fonction de l'inconnue hyperstatique.

$$\underline{\mathcal{R}}(x) \rightarrow \begin{cases} N(x) = -R_A \sin \alpha \\ T_y(x) = [p(x - \ell) + R_A \cos \alpha] \underline{e}_y \\ T_z(x) = 0 \end{cases} \quad \begin{array}{l} \text{Efforts normal et tranchant} \\ \text{non nuls} \end{array}$$

$$\underline{\mathcal{M}}(x) \rightarrow \begin{cases} M_t(x) = 0 \\ M_y(x) = 0 \\ M_z(x) = \left[ -\frac{p}{2} (x - \ell)^2 - R_A (x - \ell) \cos \alpha \right] \end{cases} \quad \begin{array}{l} \text{Moment de flexion suivant } z \\ \text{non nul uniquement.} \end{array}$$



On reprend ici la méthode énergétique :

Efforts de liaison :  $\underline{R_O}, \underline{R_A}$

Efforts de cohésion :  $N, M_z, T_y$

Énergie interne de déformation :  $U = \frac{1}{2} \int_0^\ell \left( \frac{N^2}{ES} + \frac{M_z^2}{EI_{Gz}} + \frac{T_y^2}{\mu S} \right) dx$

Pour une structure **élancée**, on  
**néglige l'énergie de cisaillement**  
associée à l'effort tranchant

$$U = \frac{1}{2} \int_0^L \left( \frac{N^2}{ES} + \frac{M_z^2}{EI_{Gz}} + \cancel{\frac{T_y^2}{\mu S}} \right) dx$$

On reprend ici la méthode énergétique :

Efforts de liaison :  $\underline{R_O}, \underline{R_A}$

Efforts de cohésion :  $N, M_z, T_y$

Énergie interne de déformation :  $U = \frac{1}{2} \int_0^\ell \left( \frac{N^2}{ES} + \frac{M_z^2}{EI_{Gz}} + \frac{T_y^2}{\mu S} \right) dx$

Théorème de Menabrea :  $\frac{\partial U}{\partial R_A} = 0$

Pour une structure **élancée**, on **néglige l'énergie de cisaillement** associée à l'effort tranchant

$$U = \frac{1}{2} \int_0^L \left( \frac{N^2}{ES} + \frac{M_z^2}{EI_{Gz}} + \cancel{\frac{T_y^2}{\mu S}} \right) dx$$

Pour faciliter les calculs on passe la dérivée dans l'intégrale :

$$\frac{\partial U}{\partial R_A} = \frac{1}{ES} \int_0^\ell N \frac{\partial N}{\partial R_A} dx + \frac{1}{EI_{Gz}} \int_0^\ell M_z \frac{\partial M_z}{\partial R_A} dx = 0$$

On reprend ici la méthode énergétique :

Efforts de liaison :  $\underline{R_O}, \underline{R_A}$

Efforts de cohésion :  $N, M_z, T_y$

Énergie interne de déformation :  $U = \frac{1}{2} \int_0^\ell \left( \frac{N^2}{ES} + \frac{M_z^2}{EI_{Gz}} + \frac{T_y^2}{\mu S} \right) dx$

Théorème de Menabrea :  $\frac{\partial U}{\partial R_A} = 0$

$$\frac{\partial U}{\partial R_A} = \frac{1}{ES} \int_0^\ell N \frac{\partial N}{\partial R_A} dx + \frac{1}{EI_{Gz}} \int_0^\ell M_z \frac{\partial M_z}{\partial R_A} dx = 0$$

En remplaçant les efforts de cohésion par leurs valeurs :

$$N(x) = -R_A \sin \alpha \quad M_z(x) = \left[ -\frac{p}{2} (x - \ell)^2 - R_A (x - \ell) \cos \alpha \right]$$

$$\frac{\partial U}{\partial R_A} = \frac{1}{ES} \int_0^\ell R_A \sin^2 \alpha dx + \frac{1}{EI_{Gz}} \int_0^\ell -(x - \ell) \cos \alpha \left[ -\frac{p}{2} (x - \ell)^2 - R_A (x - \ell) \cos \alpha \right] dx$$

On reprend ici la méthode énergétique :

Efforts de liaison :  $\underline{R_O}, \underline{R_A}$

Efforts de cohésion :  $N, M_z, T_y$

Énergie interne de déformation :  $U = \frac{1}{2} \int_0^\ell \left( \frac{N^2}{ES} + \frac{M_z^2}{EI_{Gz}} + \frac{T_y^2}{\mu S} \right) dx$

Théorème de Menabrea :  $\frac{\partial U}{\partial R_A} = 0$

$$\begin{aligned} \frac{\partial U}{\partial R_A} &= \frac{1}{ES} \int_0^\ell R_A \sin^2 \alpha dx + \frac{1}{EI_{Gz}} \int_0^\ell -(x - \ell) \cos \alpha \left[ -\frac{p}{2} (x - \ell)^2 - R_A (x - \ell) \cos \alpha \right] dx \\ &= \frac{R_A \sin^2 \alpha \ell}{ES} + \frac{1}{EI_{Gz}} \left[ \frac{p \cos \alpha}{2} \int_0^\ell (x - \ell)^3 dx + R_A \cos^2 \alpha \int_0^\ell (x - \ell)^2 dx \right] \end{aligned}$$

On reprend ici la méthode énergétique :

Efforts de liaison :  $\underline{R_O}, \underline{R_A}$

Efforts de cohésion :  $N, M_z, T_y$

Énergie interne de déformation :  $U = \frac{1}{2} \int_0^\ell \left( \frac{N^2}{ES} + \frac{M_z^2}{EI_{Gz}} + \frac{T_y^2}{\mu S} \right) dx$

Théorème de Menabrea :  $\frac{\partial U}{\partial R_A} = 0$

$$\begin{aligned} \frac{\partial U}{\partial R_A} &= \frac{1}{ES} \int_0^\ell R_A \sin^2 \alpha dx + \frac{1}{EI_{Gz}} \int_0^\ell -(x - \ell) \cos \alpha \left[ -\frac{p}{2} (x - \ell)^2 - R_A (x - \ell) \cos \alpha \right] dx \\ &= \frac{R_A \sin^2 \alpha \ell}{ES} + \frac{1}{EI_{Gz}} \left[ \frac{p \cos \alpha}{2} \int_0^\ell (x - \ell)^3 dx + R_A \cos^2 \alpha \int_0^\ell (x - \ell)^2 dx \right] \\ &= \frac{R_A \sin^2 \alpha \ell}{ES} + \frac{1}{EI_{Gz}} \left[ -\frac{p \ell^4 \cos \alpha}{8} + \frac{R_A \cos^2 \alpha \ell^3}{3} \right] \end{aligned}$$

On reprend ici la méthode énergétique :

Efforts de liaison :  $\underline{R_O}, \underline{R_A}$

Efforts de cohésion :  $N, M_z, T_y$

Énergie interne de déformation :  $U = \frac{1}{2} \int_0^\ell \left( \frac{N^2}{ES} + \frac{M_z^2}{EI_{Gz}} + \frac{T_y^2}{\mu S} \right) dx$

Théorème de Menabrea :  $\frac{\partial U}{\partial R_A} = 0$

$$\begin{aligned}
 \frac{\partial U}{\partial R_A} &= \frac{1}{ES} \int_0^\ell R_A \sin^2 \alpha dx + \frac{1}{EI_{Gz}} \int_0^\ell -(x - \ell) \cos \alpha \left[ -\frac{p}{2} (x - \ell)^2 - R_A (x - \ell) \cos \alpha \right] dx \\
 &= \frac{R_A \sin^2 \alpha \ell}{ES} + \frac{1}{EI_{Gz}} \left[ \frac{p \cos \alpha}{2} \int_0^\ell (x - \ell)^3 dx + R_A \cos^2 \alpha \int_0^\ell (x - \ell)^2 dx \right] \\
 &= \frac{R_A \sin^2 \alpha \ell}{ES} + \frac{1}{EI_{Gz}} \left[ -\frac{p \ell^4 \cos \alpha}{8} + \frac{R_A \cos^2 \alpha \ell^3}{3} \right] \\
 &= R_A \left( \frac{\ell \sin^2 \alpha}{ES} + \frac{\ell^3 \cos^2 \alpha}{3EI_{Gz}} \right) - \frac{p \ell^4 \cos \alpha}{8EI_{Gz}} = 0
 \end{aligned}$$



On reprend ici la méthode énergétique :

Efforts de liaison :  $\underline{R_O}, \underline{R_A}$

Efforts de cohésion :  $N, M_z, T_y$

Énergie interne de déformation :  $U = \frac{1}{2} \int_0^\ell \left( \frac{N^2}{ES} + \frac{M_z^2}{EI_{Gz}} + \frac{T_y^2}{\mu S} \right) dx$

Théorème de Menabrea :  $\frac{\partial U}{\partial R_A} = 0$

$$R_A \left( \frac{\ell \sin^2 \alpha}{ES} + \frac{\ell^3 \cos^2 \alpha}{3EI_{Gz}} \right) - \frac{p\ell^4 \cos \alpha}{8EI_{Gz}} = 0$$

On reprend ici la méthode énergétique :

Efforts de liaison :  $\underline{R_O}, \underline{R_A}$

Efforts de cohésion :  $N, M_z, T_y$

Énergie interne de déformation :  $U = \frac{1}{2} \int_0^\ell \left( \frac{N^2}{ES} + \frac{M_z^2}{EI_{Gz}} + \frac{T_y^2}{\mu S} \right) dx$

Théorème de Menabrea :  $\frac{\partial U}{\partial R_A} = 0$

$$R_A \left( \frac{\ell \sin^2 \alpha}{ES} + \frac{\ell^3 \cos^2 \alpha}{3EI_{Gz}} \right) - \frac{p\ell^4 \cos \alpha}{8EI_{Gz}} = 0$$

$$R_A \left( \frac{3I_{Gz}\ell \sin^2 \alpha + S\ell^3 \cos^2 \alpha}{3\cancel{SE}I_{Gz}} \right) = \frac{p\ell^4 \cos \alpha}{8\cancel{EI}_{Gz}}$$

On reprend ici la méthode énergétique :

Efforts de liaison :  $\underline{R_O}, \underline{R_A}$

Efforts de cohésion :  $N, M_z, T_y$

Énergie interne de déformation :  $U = \frac{1}{2} \int_0^\ell \left( \frac{N^2}{ES} + \frac{M_z^2}{EI_{Gz}} + \frac{T_y^2}{\mu S} \right) dx$

Théorème de Menabrea :  $\frac{\partial U}{\partial R_A} = 0$

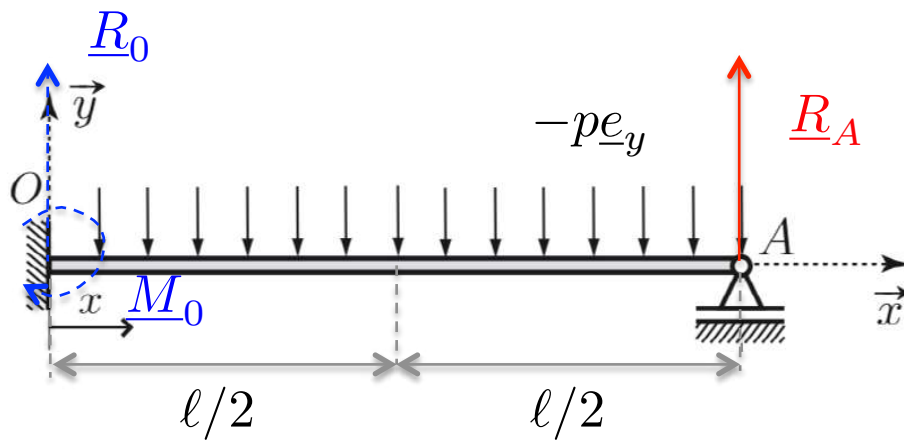
$$R_A \left( \frac{\ell \sin^2 \alpha}{ES} + \frac{\ell^3 \cos^2 \alpha}{3EI_{Gz}} \right) - \frac{p\ell^4 \cos \alpha}{8EI_{Gz}} = 0$$

$$R_A \left( \frac{3I_{Gz}\ell \sin^2 \alpha + S\ell^3 \cos^2 \alpha}{3\cancel{SEI_{Gz}}} \right) = \frac{p\ell^4 \cos \alpha}{8\cancel{EI_{Gz}}}$$

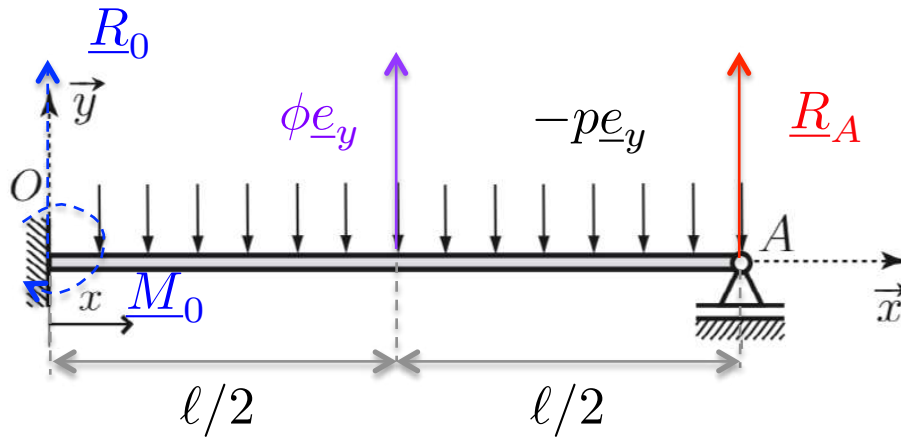
$$\rightarrow \boxed{R_A = \frac{3p\ell^3 S \cos \alpha}{24I \sin^2 \alpha + 8\ell^2 S \cos^2 \alpha}}$$

Flèche au milieu de la poutre pour  $\alpha = 0$   
[cas traité en cours]

$$\alpha = 0 \rightarrow \boxed{R_A = \frac{3p\ell}{8}}$$



Flèche au milieu de la poutre pour  $\alpha = 0$   
[cas traité en cours]



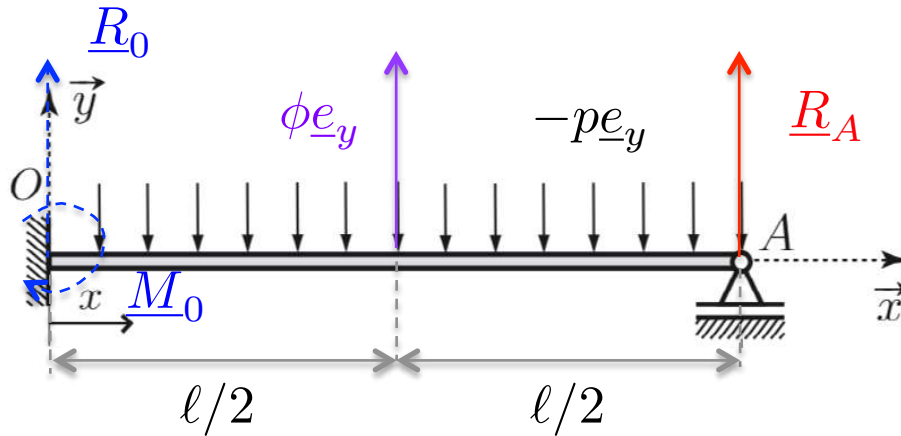
$$\alpha = 0 \rightarrow \boxed{R_A = \frac{3p\ell}{8}}$$

Utilisation du **théorème de la charge fictive** (de Bertrand de Fontviolant)

➔ On rajoute une force fictive  $\Phi$  en  $l/2$ , dirigée suivant  $y$

Flèche au milieu de la poutre pour  $\alpha = 0$   
[cas traité en cours]

$$\alpha = 0 \rightarrow \boxed{R_A = \frac{3p\ell}{8}}$$



Utilisation du **théorème de la charge fictive** (de Bertrand de Fontviolant)

➔ On rajoute une force fictive  $\Phi$  en  $\ell/2$ , dirigée suivant  $y$

Équilibre global :

• En *efforts* :

$$\mathbf{R}_O + \phi\mathbf{e}_y + R_A\mathbf{e}_y + \int_0^\ell (-p\mathbf{e}_y)dx = \mathbf{0}$$

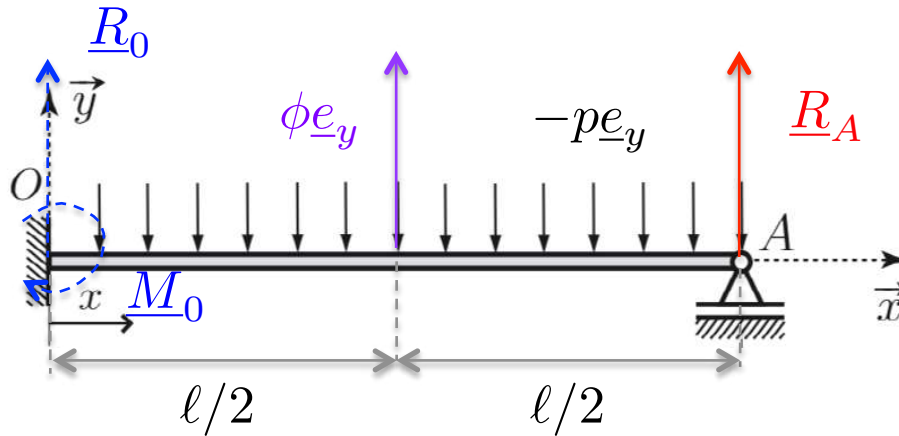
Sur  $\mathbf{e}_y \rightarrow R_O + \phi + R_A - p\ell = 0$

$$R_O = p\ell - R_A - \phi \rightarrow \boxed{R_O = \frac{5p\ell}{8} - \phi}$$



Flèche au milieu de la poutre pour  $\alpha = 0$   
[cas traité en cours]

$$\alpha = 0 \rightarrow \boxed{R_A = \frac{3p\ell}{8}}$$



Utilisation du **théorème de la charge fictive** (de Bertrand de Fontviolant)

➔ On rajoute une force fictive  $\Phi$  en  $\ell/2$ , dirigée suivant  $y$

Équilibre global :

- En *efforts* :  $\mathbf{R}_O + \phi\mathbf{e}_y + R_A\mathbf{e}_y + \int_0^\ell (-p\mathbf{e}_y)dx = \mathbf{0}$

Sur  $\mathbf{e}_y \rightarrow R_O + \phi + R_A - p\ell = 0$

$$R_O = p\ell - R_A - \phi \rightarrow \boxed{R_O = \frac{5p\ell}{8} - \phi}$$

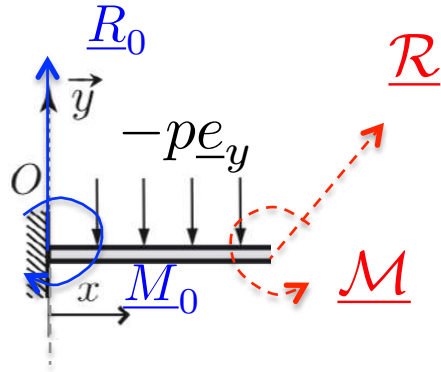
- En *moments en O* :

$$\mathbf{M}_O + \frac{\ell}{2}\mathbf{e}_x \wedge \phi\mathbf{e}_y + \ell\mathbf{e}_x \wedge R_A + \int_0^\ell s\mathbf{e}_x \wedge (-p\mathbf{e}_y)ds = \mathbf{0}$$

$$M_{Oz} = p\frac{\ell^2}{2} - \frac{\ell}{2}\phi - \ell R_A \rightarrow \boxed{M_{Oz} = p\frac{\ell^2}{8} - \frac{\ell}{2}\phi}$$

Flèche au milieu de la poutre pour  $\alpha = 0$   
[cas traité en cours]

**Efforts de cohésion par la méthode  
des coupures :**



- $0 < x < \frac{\ell}{2}$

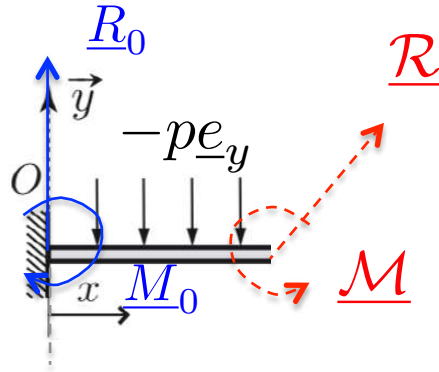
- *En efforts :*  $\underline{\mathcal{R}} + \underline{R}_O + \int_0^x (-p \underline{e}_y) ds = \underline{0}$

$$\underline{\mathcal{R}} = px \underline{e}_y - R_O \underline{e}_y = px \underline{e}_y - \left( \frac{5p\ell}{8} - \phi \right) \underline{e}_y$$

$$\underline{\mathcal{R}}^{(1)}(x) = \left[ p \left( x - \frac{5\ell}{8} \right) + \phi \right] \underline{e}_y$$

Flèche au milieu de la poutre pour  $\alpha = 0$   
[cas traité en cours]

**Efforts de cohésion par la méthode  
des coupures :**



- $0 < x < \frac{\ell}{2}$

- *En efforts :*  $\underline{R} + \underline{R}_O + \int_0^x (-p \underline{e}_y) ds = \underline{0}$

$$\underline{R} = px \underline{e}_y - R_O \underline{e}_y = px \underline{e}_y - \left( \frac{5p\ell}{8} - \phi \right) \underline{e}_y$$

$$\boxed{\underline{R}^{(1)}(x) = \left[ p \left( x - \frac{5\ell}{8} \right) + \phi \right] \underline{e}_y}$$

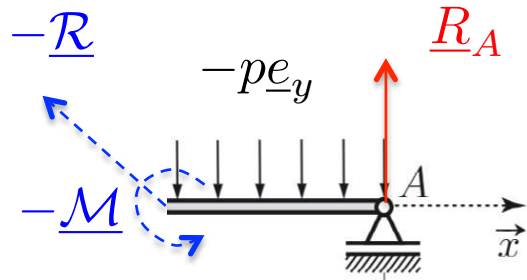
- *En moments :*

$$\underline{M} + M_{Oz} \underline{e}_z + (-x) \underline{e}_x \wedge \underline{R}_O + \int_0^x -(x-s) \underline{e}_x \wedge (-p \underline{e}_y) ds = \underline{0}$$

$$\underline{M} = -M_{Oz} \underline{e}_z + p \left[ \frac{(x-s)^2}{2} \right]_0^x \underline{e}_z + x R_O \underline{e}_z = \left[ -p \frac{\ell^2}{8} + \frac{\ell}{2} \phi - p \frac{x^2}{2} + x \left( \frac{5p\ell}{8} - \phi \right) \right] \underline{e}_z$$

$$\boxed{\underline{M}^{(1)}(x) = \left[ \frac{p}{8} (-4x^2 + 5\ell x - \ell^2) + \frac{\phi}{2} (\ell - 2x) \right] \underline{e}_z}$$

Flèche au milieu de la poutre pour  $\alpha = 0$   
 [cas traité en cours]



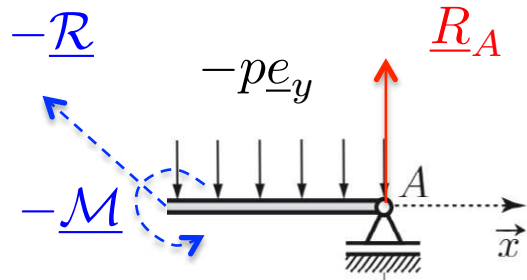
**Efforts de cohésion par la méthode  
des coupures :**

- $\frac{\ell}{2} < x < \ell$
- *En efforts :*  $-\underline{\mathcal{R}} + \underline{R}_A + \int_x^\ell (-p \underline{e}_y) ds = 0$

$$\underline{\mathcal{R}} = \frac{3p\ell}{8} \underline{e}_y + p(x - \ell) \underline{e}_y$$

$$\underline{\mathcal{R}}^{(2)}(x) = p \left[ (x - \ell) + \frac{3\ell}{8} \right] \underline{e}_y$$

Flèche au milieu de la poutre pour  $\alpha = 0$   
[cas traité en cours]



**Efforts de cohésion par la méthode des coupures :**

- $\frac{\ell}{2} < x < \ell$

- *En efforts :*  $-\underline{R} + \underline{R}_A + \int_x^\ell (-p \underline{e}_y) ds = \underline{0}$

$$\underline{R} = \frac{3p\ell}{8} \underline{e}_y + p(x - \ell) \underline{e}_y$$

$$\underline{R}^{(2)}(x) = p \left[ (x - \ell) + \frac{3\ell}{8} \right] \underline{e}_y$$

- *En moments en O :*

$$-\underline{M} + \int_x^\ell s \underline{e}_x \wedge (-p \underline{e}_y) ds + (\ell - x) \underline{e}_x \wedge R_A \underline{e}_y = \underline{0}$$

$$\underline{M} = - \int_x^\ell p s \underline{e}_z ds + (\ell - x) \frac{3p\ell}{8} \underline{e}_z$$

$$\underline{M}^{(2)} = \frac{p}{2} \left[ (x^2 - \ell^2) + \frac{3\ell}{4} (\ell - x) \right] \underline{e}_z \rightarrow \underline{M}^{(2)} = \frac{p}{2} \left[ x^2 - \frac{3\ell}{4} x - \frac{\ell^2}{4} \right] \underline{e}_z$$

Théorème de Castigliano avec charge fictive :

$$u_y \left( \frac{\ell}{2} \right) = \frac{\partial U}{\partial \phi} \Big|_{\phi=0} = \frac{1}{2} \frac{\partial}{\partial \phi} \int_0^\ell \left( \cancel{\frac{N^2}{ES}} + \frac{M_z^2}{EI_{Gz}} + \cancel{\frac{T^2}{\mu S}} \right) dx \Big|_{\phi=0} \simeq \frac{1}{EI_{Gz}} \int_0^\ell M_z \frac{\partial M_z}{\partial \phi} dx \Big|_{\phi=0}$$



Théorème de Castigliano avec charge fictive :

$$u_y \left( \frac{\ell}{2} \right) = \frac{\partial \mathcal{U}}{\partial \phi} \Big|_{\phi=0} = \frac{1}{2} \frac{\partial}{\partial \phi} \int_0^\ell \left( \cancel{\frac{N^2}{ES}} + \frac{M_z^2}{EI_{Gz}} + \cancel{\frac{T^2}{\mu S}} \right) dx \Big|_{\phi=0} \simeq \frac{1}{EI_{Gz}} \int_0^\ell M_z \frac{\partial M_z}{\partial \phi} dx \Big|_{\phi=0}$$

$$\underline{\mathcal{M}}^{(1)}(x) = \left[ \frac{p}{8} (-4x^2 + 5\ell x - \ell^2) + \frac{\phi}{2} (\ell - 2x) \right] \underline{e}_z$$

$$M_z^{(1)} \Big|_{\phi=0} = \frac{p}{8} (-4x^2 + 5\ell x - \ell^2)$$

$$\frac{\partial M_z^{(1)}}{\partial \phi} \Big|_{\phi=0} = \frac{(\ell - 2x)}{2}$$

Théorème de Castigliano avec charge fictive :

$$u_y \left( \frac{\ell}{2} \right) = \frac{\partial U}{\partial \phi} \Big|_{\phi=0} = \frac{1}{2} \frac{\partial}{\partial \phi} \int_0^\ell \left( \cancel{\frac{N^2}{ES}} + \frac{M_z^2}{EI_{Gz}} + \cancel{\frac{T_y^2}{\mu S}} \right) dx \Big|_{\phi=0} \simeq \frac{1}{EI_{Gz}} \int_0^\ell M_z \frac{\partial M_z}{\partial \phi} dx \Big|_{\phi=0}$$

$$\begin{aligned} \underline{\mathcal{M}}^{(1)}(x) &= \left[ \frac{p}{8} (-4x^2 + 5\ell x - \ell^2) + \frac{\phi}{2} (\ell - 2x) \right] \underline{e}_z & \underline{\mathcal{M}}^{(2)} &= \frac{p}{2} \left[ x^2 - \frac{3\ell}{4}x - \frac{\ell^2}{4} \right] \underline{e}_z \\ M_z^{(1)} \Big|_{\phi=0} &= \frac{p}{8} (-4x^2 + 5\ell x - \ell^2) & M_z^{(2)} \Big|_{\phi=0} &= \frac{p}{2} \left[ x^2 - \frac{3\ell}{4}x - \frac{\ell^2}{4} \right] \\ \frac{\partial M_z^{(1)}}{\partial \phi} \Big|_{\phi=0} &= \frac{(\ell - 2x)}{2} & \frac{\partial M_z^{(2)}}{\partial \phi} \Big|_{\phi=0} &= 0 \end{aligned}$$

Théorème de Castigliano avec charge fictive :

$$u_y \left( \frac{\ell}{2} \right) = \frac{\partial \mathcal{U}}{\partial \phi} \Big|_{\phi=0} = \frac{1}{2} \frac{\partial}{\partial \phi} \int_0^\ell \left( \cancel{\frac{N^2}{ES}} + \frac{M_z^2}{EI_{Gz}} + \cancel{\frac{T_y^2}{\mu S}} \right) dx \Big|_{\phi=0} \simeq \frac{1}{EI_{Gz}} \int_0^\ell M_z \frac{\partial M_z}{\partial \phi} dx \Big|_{\phi=0}$$

$$\begin{array}{l|l} \underline{\mathcal{M}}^{(1)}(x) = \left[ \frac{p}{8} (-4x^2 + 5\ell x - \ell^2) + \frac{\phi}{2} (\ell - 2x) \right] \underline{e}_z & \underline{\mathcal{M}}^{(2)} = \frac{p}{2} \left[ x^2 - \frac{3\ell}{4}x - \frac{\ell^2}{4} \right] \underline{e}_z \\ \underline{M}_z^{(1)} \Big|_{\phi=0} = \frac{p}{8} (-4x^2 + 5\ell x - \ell^2) & \underline{M}_z^{(2)} \Big|_{\phi=0} = \frac{p}{2} \left[ x^2 - \frac{3\ell}{4}x - \frac{\ell^2}{4} \right] \\ \frac{\partial \underline{M}_z^{(1)}}{\partial \phi} \Big|_{\phi=0} = \frac{(\ell - 2x)}{2} & \frac{\partial \underline{M}_z^{(2)}}{\partial \phi} \Big|_{\phi=0} = 0 \end{array}$$

$$\begin{aligned} u_y \left( \frac{\ell}{2} \right) &= \frac{1}{EI_{Gz}} \int_0^{\ell/2} \frac{p}{8} (-4x^2 + 5\ell x - \ell^2) \times \frac{(\ell - 2x)}{2} dx \\ &= \frac{p}{16EI_{Gz}} \int_0^{\ell/2} (8x^3 - 14\ell x^2 + 7\ell^2 x - \ell^3) dx \\ &= \frac{p\ell^4}{16EI_{Gz}} \left( \frac{1}{8} - \frac{7}{12} + \frac{7}{8} - \frac{1}{2} \right) \end{aligned}$$

Théorème de Castigliano avec charge fictive :

$$u_y \left( \frac{\ell}{2} \right) = \frac{\partial U}{\partial \phi} \Big|_{\phi=0} = \frac{1}{2} \frac{\partial}{\partial \phi} \int_0^\ell \left( \cancel{\frac{N^2}{ES}} + \frac{M_z^2}{EI_{Gz}} + \cancel{\frac{T_y^2}{\mu S}} \right) dx \Big|_{\phi=0} \simeq \frac{1}{EI_{Gz}} \int_0^\ell M_z \frac{\partial M_z}{\partial \phi} dx \Big|_{\phi=0}$$

$$\begin{array}{l|l} \underline{\mathcal{M}}^{(1)}(x) = \left[ \frac{p}{8} (-4x^2 + 5\ell x - \ell^2) + \frac{\phi}{2} (\ell - 2x) \right] \underline{e}_z & \underline{\mathcal{M}}^{(2)} = \frac{p}{2} \left[ x^2 - \frac{3\ell}{4}x - \frac{\ell^2}{4} \right] \underline{e}_z \\ M_z^{(1)} \Big|_{\phi=0} = \frac{p}{8} (-4x^2 + 5\ell x - \ell^2) & M_z^{(2)} \Big|_{\phi=0} = \frac{p}{2} \left[ x^2 - \frac{3\ell}{4}x - \frac{\ell^2}{4} \right] \\ \frac{\partial M_z^{(1)}}{\partial \phi} \Big|_{\phi=0} = \frac{(\ell - 2x)}{2} & \frac{\partial M_z^{(2)}}{\partial \phi} \Big|_{\phi=0} = 0 \end{array}$$

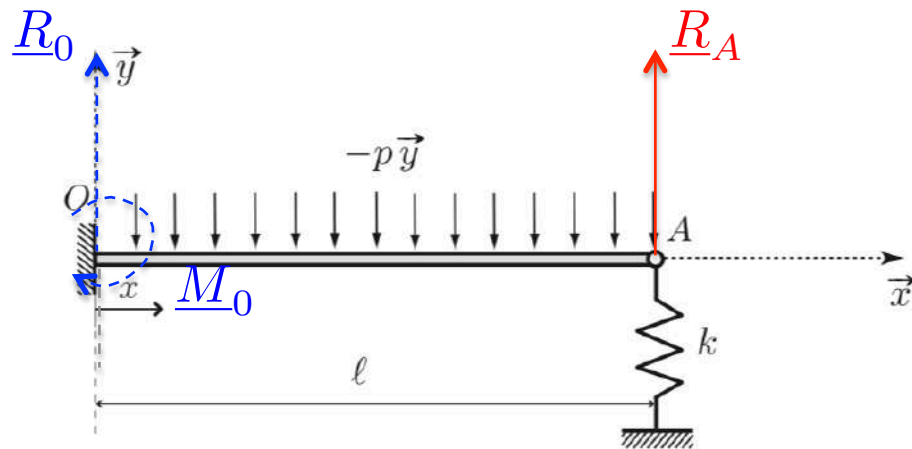
$$u_y \left( \frac{\ell}{2} \right) = \frac{1}{EI_{Gz}} \int_0^{\ell/2} \frac{p}{8} (-4x^2 + 5\ell x - \ell^2) \times \frac{(\ell - 2x)}{2} dx$$

$$= \frac{p}{16EI_{Gz}} \int_0^{\ell/2} (8x^3 - 14\ell x^2 + 7\ell^2 x - \ell^3) dx$$

$$= \frac{p\ell^4}{16EI_{Gz}} \left( \frac{1}{8} - \frac{7}{12} + \frac{7}{8} - \frac{1}{2} \right)$$

$$\longrightarrow \boxed{u_y \left( \frac{\ell}{2} \right) = -\frac{p\ell^4}{192EI_{Gz}}}$$

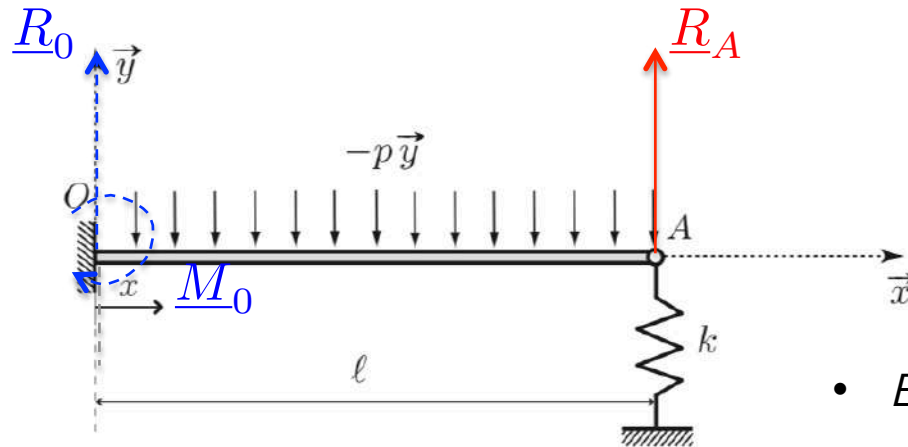
Si changement de CL :



$\underline{R}_A$  Inconnue hyperstatique telle que :

$$\underline{R}_A = R_A \underline{e}_y$$

Si changement de CL :



$R_A$  Inconnue hyperstatique telle que :

$$\underline{R}_A = R_A \underline{e}_y$$

Équilibre global (efforts de liaison) :

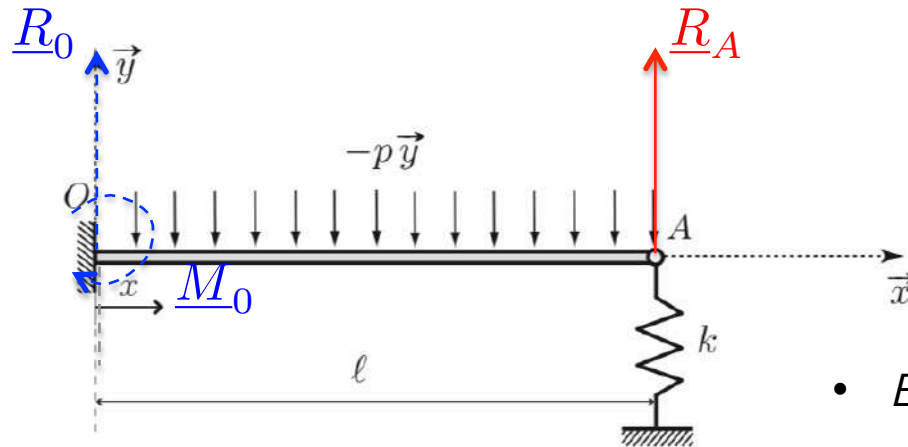
- En *efforts* :  $\underline{R}_O + R_A \underline{e}_y + \int_0^\ell (-p \underline{e}_y) dx = \underline{0}$

Sur  $\underline{e}_y \rightarrow R_O + R_A - p\ell = 0$

$$\underline{R}_O = (p\ell - R_A) \underline{e}_y$$



Si changement de CL :



$\underline{R}_A$  Inconnue hyperstatique telle que :

$$\underline{R}_A = \underline{R}_A \underline{e}_y$$

Équilibre global (efforts de liaison) :

- En *efforts* :  $\underline{R}_O + \underline{R}_A \underline{e}_y + \int_0^\ell (-p \underline{e}_y) dx = \underline{0}$

Sur  $\underline{e}_y \rightarrow R_O + R_A - p\ell = 0$

$$\underline{R}_O = (p\ell - \underline{R}_A) \underline{e}_y$$

- En *moments en O* :

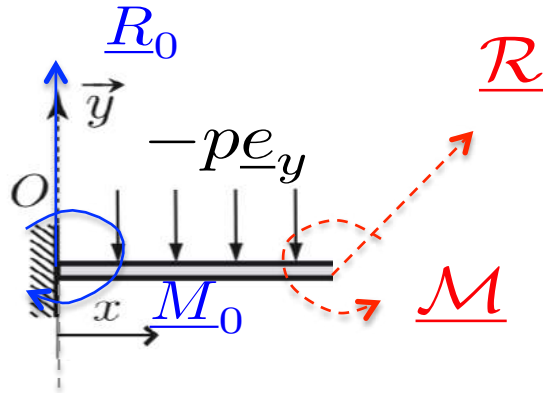
$$\underline{M}_O + \ell \underline{e}_x \wedge \underline{R}_A + \int_0^\ell s \underline{e}_x \wedge (-p \underline{e}_y) ds = \underline{0}$$

Sur  $\underline{e}_z \rightarrow M_{Oz} + \ell R_A - \int_0^\ell p s ds = 0$

$$M_{Oz} = \left[ p \frac{s^2}{2} \right]_0^\ell - \ell R_A$$

$$\underline{M}_O = \left[ \frac{p\ell^2}{2} - \ell \underline{R}_A \right] \underline{e}_z$$

Efforts de liaison exprimés en fonction de l'inconnue hyperstatique



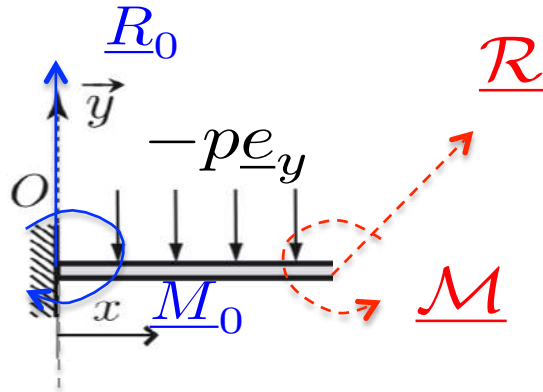
**Méthode des coupures (efforts de cohésion) :**

- En *efforts* :

$$\underline{\mathcal{R}} + \underline{R}_O + \int_0^x (-p \underline{e}_y) ds = \underline{0}$$

$$\underline{\mathcal{R}} = p x \underline{e}_y - R_O \underline{e}_y = p x \underline{e}_y - (p \ell - \underline{R}_A) \underline{e}_y$$

$$\boxed{\underline{\mathcal{R}}(x) = [p(x - \ell) - \underline{R}_A] \underline{e}_y}$$



## Méthode des coupures (efforts de cohésion) :

- En *efforts* :

$$\underline{R} + \underline{R}_O + \int_0^x (-p \underline{e}_y) ds = \underline{0}$$

$$\underline{R} = p x \underline{e}_y - R_O \underline{e}_y = p x \underline{e}_y - (p \ell - R_A) \underline{e}_y$$

$$\boxed{\underline{R}(x) = [p(x - \ell) - R_A] \underline{e}_y}$$

- En *moments* :

$$\underline{M} + M_{Oz} \underline{e}_z + (-x) \underline{e}_x \wedge \underline{R}_O + \int_0^x -(x-s) \underline{e}_x \wedge (-p \underline{e}_y) ds = \underline{0}$$

$$\underline{M} = -M_{Oz} \underline{e}_z + x R_O \underline{e}_z + p \left[ \frac{(x-s)^2}{2} \right]_0^x \underline{e}_z = \left[ \ell R_A - \frac{p \ell^2}{2} + x(p \ell - R_A) - \frac{p x^2}{2} \right] \underline{e}_z$$

$$\boxed{\underline{M}(x) = \left[ -\frac{p(\ell - x)^2}{2} + R_A(\ell - x) \right] \underline{e}_z}$$

Efforts de cohésion exprimés en fonction de l'inconnue hyperstatique

On reprend ici la méthode énergétique :

Efforts de liaison :  $\underline{R_O}, \underline{R_A}$

Efforts de cohésion :  $N, M_z, T_y$

Énergie interne de déformation :  $U = \frac{1}{2} \int_0^\ell \left( \frac{N^2}{ES} + \frac{M_z^2}{EI_{Gz}} + \frac{T_y^2}{\mu S} \right) dx + \frac{1}{2} k u_y(\ell)^2$

Théorème de Menabrea :  $\frac{\partial U}{\partial R_A} = 0$

Système {poutre+ressort}

$$\underline{M}(x) = \left[ -\frac{p(\ell - x)^2}{2} + R_A(\ell - x) \right] \underline{e}_z \quad R_A = -k u_y(\ell)$$

$$\longrightarrow U = \frac{1}{2} \int_0^\ell \frac{M_z^2}{EI_{Gz}} dx + \frac{R_A^2}{2k}$$

On reprend ici la méthode énergétique :

Efforts de liaison :  $\underline{R_O}, \underline{R_A}$

Efforts de cohésion :  $N, M_z, T_y$

Énergie interne de déformation :  $U = \frac{1}{2} \int_0^\ell \left( \frac{N^2}{ES} + \frac{M_z^2}{EI_{Gz}} + \frac{T_y^2}{\mu S} \right) dx + \frac{1}{2} k u_y(\ell)^2$

Théorème de Menabrea :  $\frac{\partial U}{\partial R_A} = 0$

Système {poutre+ressort}

$$\underline{M}(x) = \left[ -\frac{p(\ell - x)^2}{2} + R_A(\ell - x) \right] \underline{e}_z \quad R_A = -k u_y(\ell)$$

$$\longrightarrow U = \frac{1}{2} \int_0^\ell \frac{M_z^2}{EI_{Gz}} dx + \frac{R_A^2}{2k}$$

$$\begin{aligned} \frac{\partial U}{\partial R_A} &= \frac{R_A}{k} + \frac{1}{EI_{Gz}} \int_0^\ell M_z \frac{\partial M_z}{\partial R_A} dx \\ &= \frac{R_A}{k} + \frac{1}{EI_{Gz}} \int_0^\ell (\ell - x) \times \left[ -\frac{p(\ell - x)^2}{2} + R_A(\ell - x) \right] dx \\ &= \frac{R_A}{k} + \frac{1}{EI_{Gz}} \left[ -\frac{p\ell^4}{8} + \frac{R_A\ell^3}{3} \right] = 0 \end{aligned}$$

Au final :

$$R_A = \frac{3p\ell}{8} \frac{1}{1 + \frac{3EI_{Gz}}{k\ell^3}}$$

$k \rightarrow \infty$  On retrouve le cas précédent pour lequel  $\alpha = 0$

$k \rightarrow 0$  On retrouve le cas d'une extrémité libre  $R_A = 0$

La flèche à l'extrémité est obtenue grâce à la loi de comportement du ressort :

$$R_A = -ku_y(\ell)$$

$$u_y(\ell) = -\frac{R_A}{k} = -\frac{3p\ell}{8k} \frac{1}{1 + \frac{3EI_{Gz}}{k\ell^3}}$$